

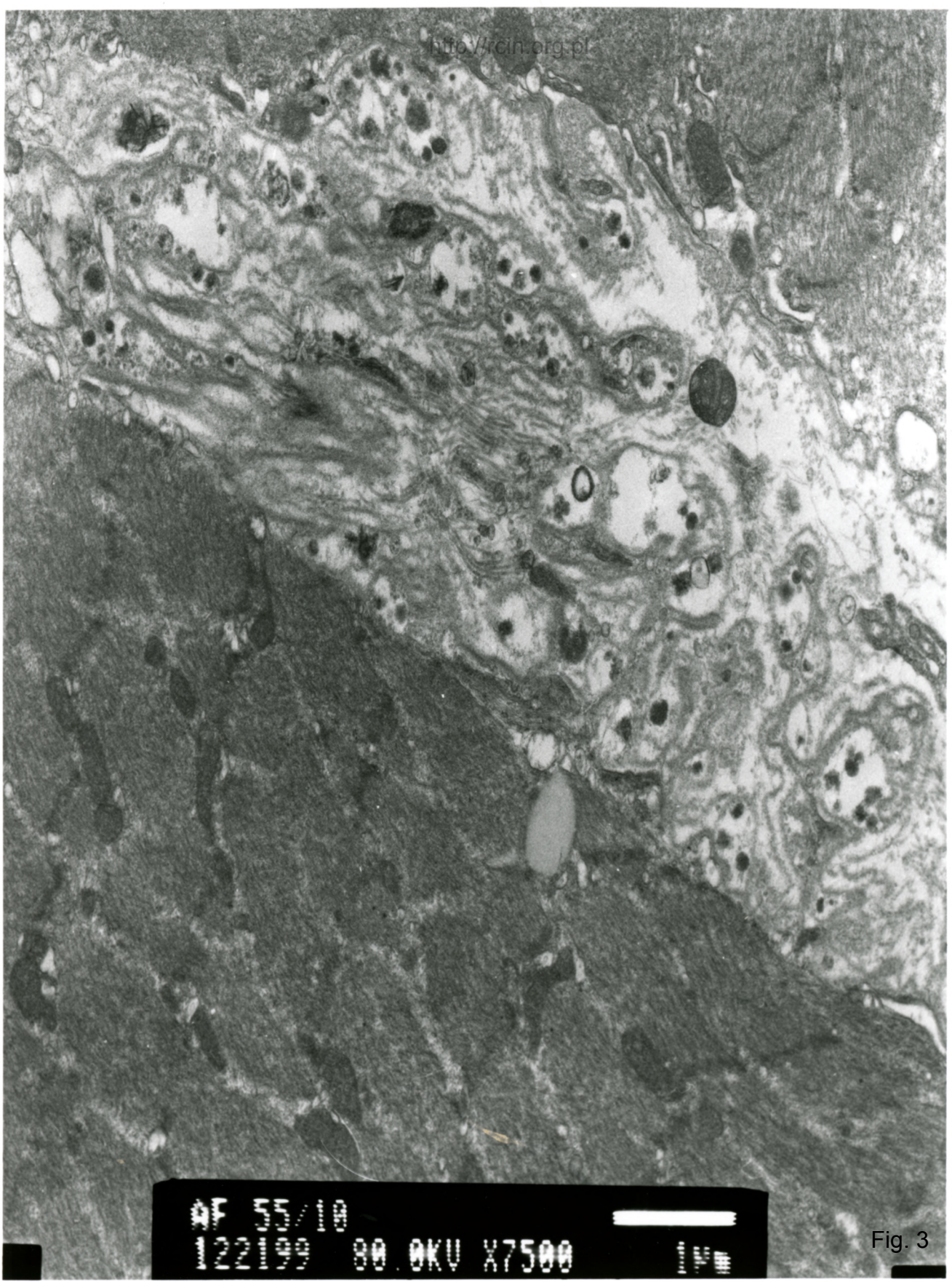
AF 55/19
122198 80.0KV X6000

Fig. 1



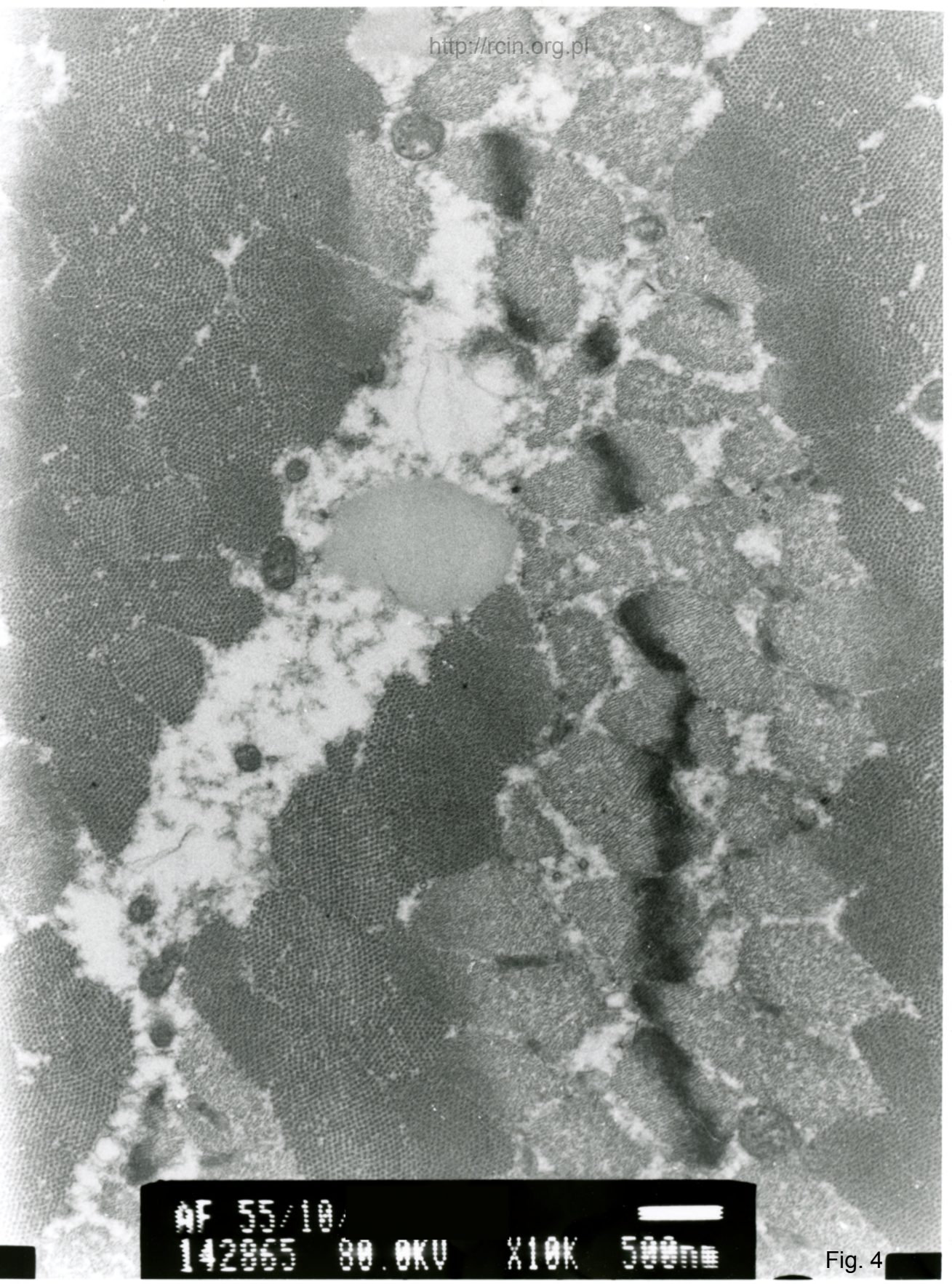
F 55/10/
22147 00.0KV X7500 1µm

Fig. 2



AF 55/10
122199 80.0KV X7500 14

Fig. 3



AF 55/10/

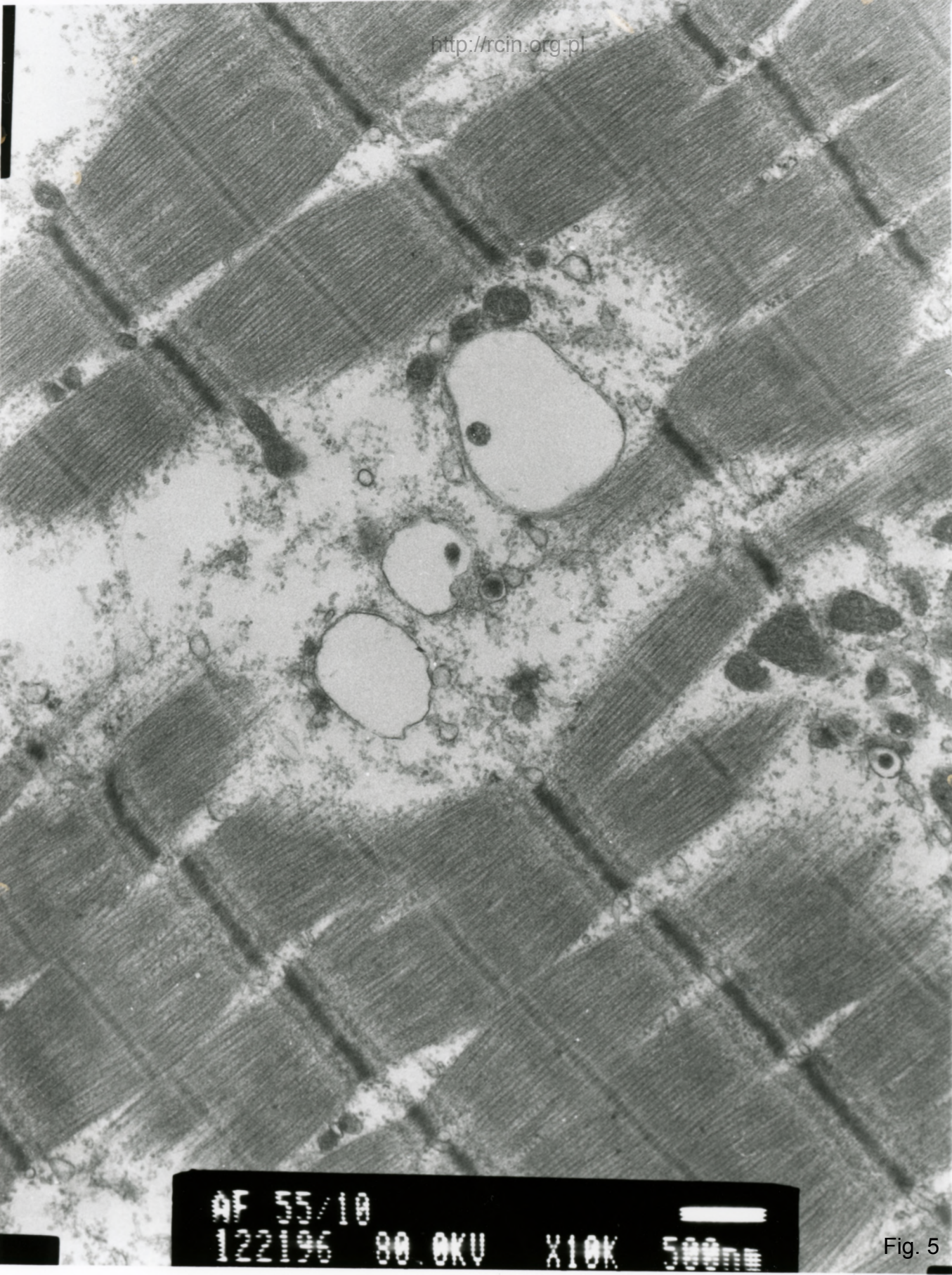
142865

80.0KV

X10K

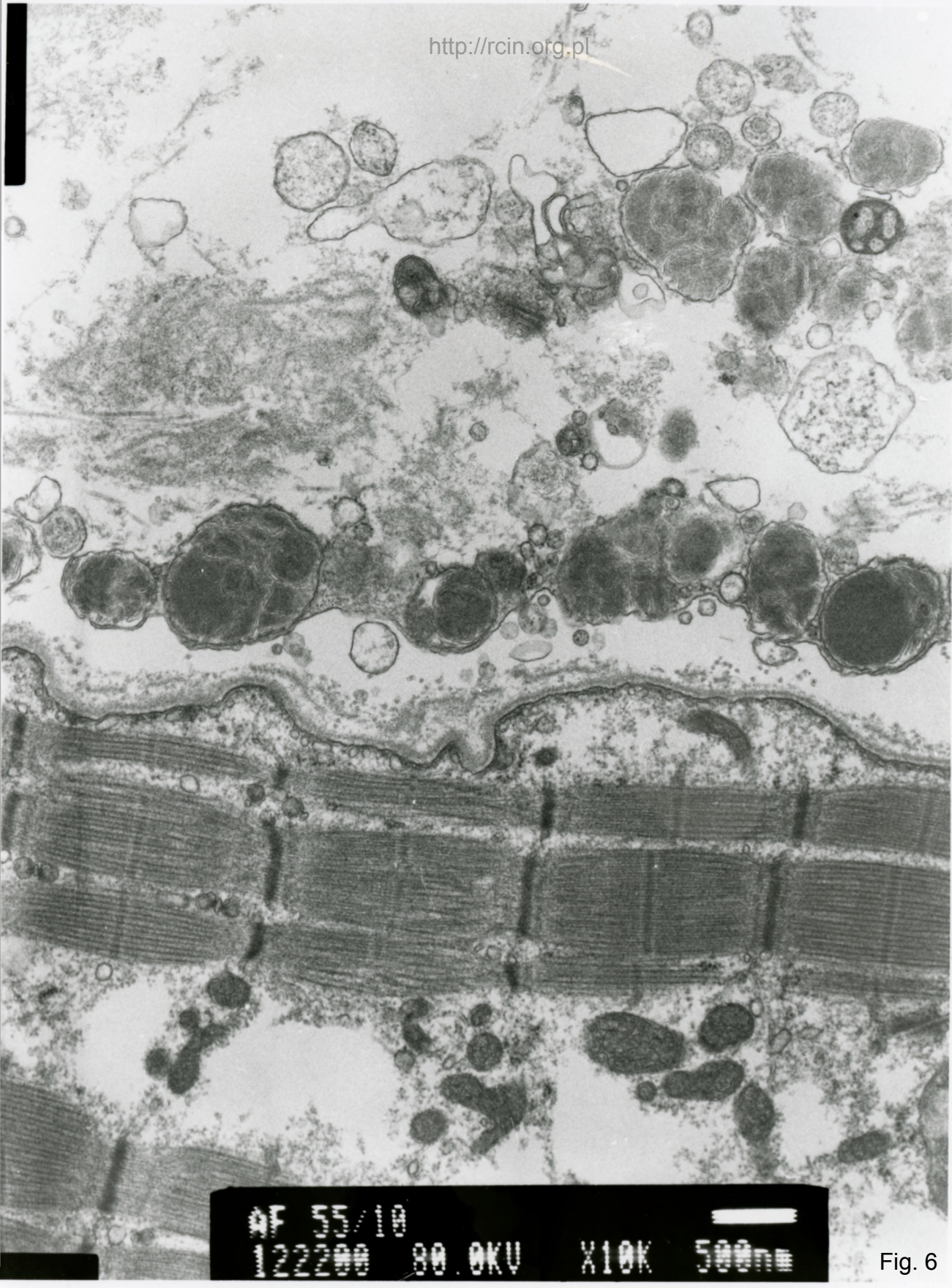
500nm

Fig. 4



AF 55/10
122196 80.0KV X10K 500nm

Fig. 5



AF 55/10
122290 80.0KV X10K 500nm

Fig. 6



AF 55/10
122197 80.0KV X12K 500nm

Fig. 7



MF 55/10/
122144 00.0K0 X12K 500nm

Fig. 8

55/10

Analiza ultrastrukturalna wykazała zaburzenia w przebiegu miofibrili oraz ich dezorganizację, a miejscami znaczny ubytek, skutkujący tworzeniem opustoszałych przestrzeni, zwłaszcza pod sarkolemmą (Fig. 1-8).

Ultrastructural analysis revealed myofibrillar disruption and disorganization, focally significant or complete loss of myofibrils, resulting in the formation of vacuolated spaces, particularly under the sarcolemma (Figs. 1-8)